



Спад свободной индукции и первичное эхо в линейных полимерах со свободными концами, содержащих группу трех спинов 1/2



Голубева И.Ю.¹, Карнаух Г.Е.², Кулагина Т.П.²

¹Московский государственный университет

²Институт проблем химической физики РАН

Теория сигнала солид-эха для трёх спинов.

Гамильтониан диполь-дипольного взаимодействия:

$$\hat{H}_d^T = b_{12}(2S_1^x S_2^x - S_1^y S_2^y - S_1^z S_2^z) + b_{23}(2S_2^x S_3^x - S_2^y S_3^y - S_2^z S_3^z) + b_{31}(2S_3^x S_1^x - S_3^y S_1^y - S_3^z S_1^z)$$

Схема расчета.

Переворот всех спинов вокруг оси X:

$$\begin{aligned} \hat{P}_e &= \frac{1}{2} \left(\hat{E} + e^{i\alpha(\beta x - \frac{\pi}{2})} \right), \quad \hat{P}_o = \frac{1}{2} \left(\hat{E} - e^{i\alpha(\beta x - \frac{\pi}{2})} \right) \\ R_{ex} &= \hat{P}_e \hat{P}_o R_e, \quad R_{ox} = \hat{P}_o \hat{P}_e R_o, \quad R_{ez} = \hat{P}_e \hat{P}_z R_z, \quad R_{oz} = \hat{P}_o \hat{P}_z R_o \\ \hat{H}_d^T &= \hat{P}_e \hat{P}_z \hat{H}_d^T + \hat{P}_o \hat{P}_z \hat{R}_d^T + \hat{P}_e \hat{P}_o \hat{R}_d^T \end{aligned}$$

Константы ДДВ:

$$b_{ij} = \frac{r^2 k^2}{|r|^3} [3\cos^2\theta - 1]$$

Спиновый обмен:

$$\hat{P}_z = \frac{1}{2} (\hat{E} + \hat{E}x), \quad \hat{P}_a = \frac{1}{2} (\hat{E} - \hat{E}x)$$

Импульсная последовательность:

$$\left(\frac{\tau}{\tau_c} \right)_y - 1 - \left(\frac{\tau}{\tau_c} \right)_x - t$$

Теория ССИ и СЭ сигнала в линейных полимерах, содержащих трёхспиновые группы.

Для цепей со свободными концами ССИ имеет вид:

$$G_r(t) = G_1(t)G_2(t)$$

ССИ в системе трёх спинов:

$$G_3(t) = \frac{1}{6}(1 + 3\cos^2\beta) + \frac{1}{2}\sin^2\beta\cos\omega_{13}t + \frac{1}{2}\cos^2\frac{\beta}{2}\cos\omega_{12}t + \frac{1}{2}\sin^2\frac{\beta}{2}\cos\omega_{13}t$$

ССИ в линейном полимере, содержащем выделенные трёхспиновые группы, выражается следующей формулой:

$$G(t) = G_3(t)G_r(t)$$

Аналогично выражение СЭ для всей спиновой системы:

$$A(t, \tau) = A_3(t, \tau)A_r(t, \tau)$$

А_r(t, τ)- сигнал первого эха в полимерах [2], который связан со спадом свободной индукции (ССИ) G_r(t):

$$A_r(t, \tau) = \frac{G_r(t)\delta G_r(\tau)}{G_r(t+\tau)}$$

Формула СЭ при t = τ для вычисления отгибающей сигнала первого спинового эха (СЭ) в линейных полимерах:

* при одинаковых константах ДДВ

$$A_3(t) = \frac{3}{8} + \frac{1}{2}\cos\left(\frac{3\beta t}{2}\right) - \frac{1}{8}\cos(3\beta t)$$

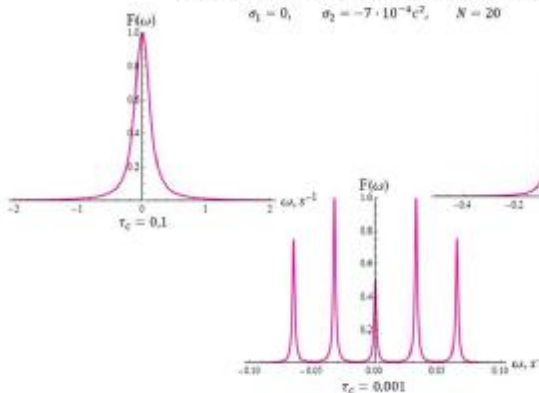
* при различных константах ДДВ

$$A_3(t) = 1 - 4\sin^4\frac{\omega t}{2} + 3\sin^6\frac{\omega t}{2}$$

$$\omega = \sqrt{-6\sigma_2}$$

$$\sigma_1 = \frac{3}{2}$$

Форма линии ССИ с разными константами ДДВ.

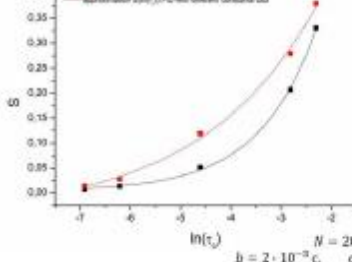


Зависимость интегральной интенсивности сигнала от логарифма характерного времени корреляции молекулярных движений

$$S(\ln(t_c)) = \tau_c \exp\left(\frac{E}{RT}\right)$$

ССИ:

- DIPOL-DIPOL WITH THE SAME CONSTANTS DDV
- DIPOL-DIPOL WITH THE DIFFERENT CONSTANTS DDV
- APPROXIMATE LINE WITH THE SAME CONSTANTS DDV
- APPROXIMATE LINE WITH THE DIFFERENT CONSTANTS DDV



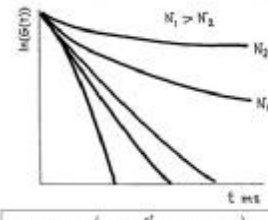
Спиновое эхо для системы трёх спинов 1/2.

Обозначения: $\sigma_1 = b_{12} + b_{23} + b_{31}$, $\sigma_2 = b_{12}b_{23} + b_{23}b_{31} + b_{31}b_{12}$, $\chi = \sqrt{\sigma_1^2 - 24\sigma_2}$, $\cos\beta = \frac{\sigma_2}{\sqrt{\sigma_1^2 - 24\sigma_2}}$

$$\begin{aligned} A_3(t, \tau) = & \frac{1}{64} (27\cos^8\beta - 18\cos^6\beta + 7) + \frac{3}{32} (\cos^2\beta + 2\cos\beta + 1) \cos\omega_{13}(t - \tau) + \frac{3}{32} (\cos^2\beta - 2\cos\beta + 1) \cos\omega_{13}(t + \tau) + \\ & + \frac{3}{128} (\cos^4\beta - 2\cos^2\beta + 1) \cos\omega_{12}(t - \tau) + \frac{1}{32} (-3\cos^2\beta - 2\cos\beta + 1) \cos\omega_{12}(t + \tau) + \frac{3}{32} (-3\cos^2\beta + 2\cos\beta + 1) \cos\omega_{13}(t - \tau) + \\ & + \frac{3}{64} (9\cos^4\beta - 10\cos^2\beta + 1) \cos\omega_{13}(t + \tau) - \frac{3}{32} (\cos^2\beta - 1)(\cos(\omega_{13}t - \omega_{12}t) + \cos(\omega_{12}t - \omega_{13}t)) + \\ & + \frac{3}{64} (-3\cos^2\beta + \cos^2\beta + 3\cos\beta - 1)(\cos(\omega_{12}t - \omega_{13}t) + \cos(\omega_{13}t - \omega_{12}t)) + \\ & + \frac{3}{64} (\cos^2\beta - \cos^2\beta - \cos\beta + 1)(\cos(\omega_{23}t - \omega_{13}t) + \cos(\omega_{13}t - \omega_{12}t)) + \frac{3}{32} (\cos^2\beta - 1)(\cos(\omega_{23}t + \omega_{12}t) + \cos(\omega_{12}t + \omega_{13}t)) + \\ & + \frac{3}{64} (3\cos^2\beta + \cos^2\beta - 3\cos\beta - 1)(\cos(\omega_{23}t + \omega_{13}t) + \cos(\omega_{13}t + \omega_{12}t)) + \frac{1}{32} (9\cos^3\beta + 3\cos^2\beta - 5\cos\beta + 1)(\cos\omega_{12}t + \cos\omega_{13}t) - \\ & - \frac{1}{64} (9\cos^3\beta - 3\cos^2\beta - 5\cos\beta + 1)(\cos\omega_{13}t + \cos\omega_{12}t) - \frac{3}{64} (9\cos^4\beta - 10\cos^2\beta + 1)(\cos\omega_{13}t + \cos\omega_{12}t) \end{aligned}$$

[2] T.P. Kulagina, O.E. Karnaikh, I.Yu. Golubeva, Solid Echo in Three-Spin Groups with Arbitrary Constants of Dipole-Dipole Interaction, Applied Magnetic Resonance, 51 (2), 155-163, (2020).

Теория ССИ в линейных полимерах без зацеплений. Корреляционная функция молекулярных движений.



Корреляционная функция при температуре выше температуры стеклования Tc

$$k(t) = (1 - a)k_1(t) + ak_2(t)$$

$k_1(t) = \exp(-\frac{t}{\tau_c})$ - корреляционная функция Блумбергена-Парселя-Плауди ($T_c < T < T_c + 50^\circ$)

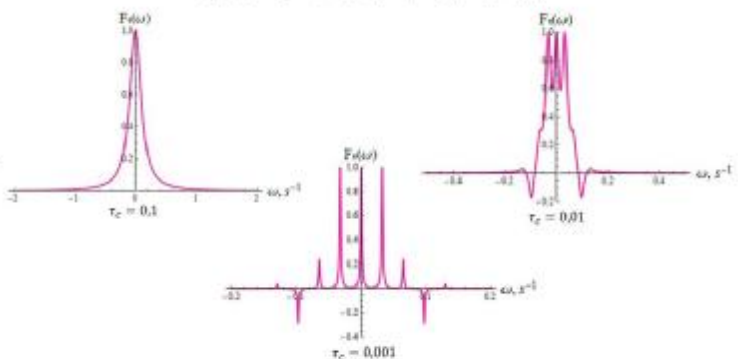
$k_2(t) = \frac{1}{N} \sum_{j=1}^N \exp\left(-\frac{t^2 \tau_j^2}{\tau_c^2}\right)$ - корреляционная функция Карпина-Слонинского-Райса ($T_c + 50^\circ < T < T_c + 100^\circ$)

$$\tau_c = \tau_0 \exp\left(\frac{E}{RT}\right)$$

τ_c - характеристическое время корреляции молекулярных движений
 a - доли крупномасштабного движения, эмпирический коэффициент (для сегментов структуры и цепей со свободными концами $a=0.05$)

Огибающая СЭ с разными константами ДДВ.

$$\sigma_1 = 0, \quad \sigma_2 = -7 \cdot 10^{-4} c^2, \quad N = 20, \quad a = 0.05,$$



Результаты и обсуждение.

- впервые получена точная аналитическая формула для сигнала солид-эха в трёхспиновой системе на основе предложенного метода расчёта
- расчёты показали качественное соответствие теории и эксперимента в твердом теле
- разработана теория сигналов ЯМР в линейных полимерах, содержащих трёхспиновые группы. Расчёты сигналов ССИ и СЭ показали, что в форме линии наблюдаются 3 пика при одинаковых константах ДДВ и 5, 7 пиков при различных константах ДДВ
- предложен метод оценки влияния температуры на форму линии по интегральной интенсивности. Показано, что при понижении температуры отличие влияния одинаковых или произвольных констант ДДВ не изблюдается. Влияние одинаковых или произвольных констант ДДВ на спектр ЯМР наблюдается при низкой температуре. В этом случае интегральная интенсивность сигналов при одинаковых константах ДДВ выше